

Fig. 1

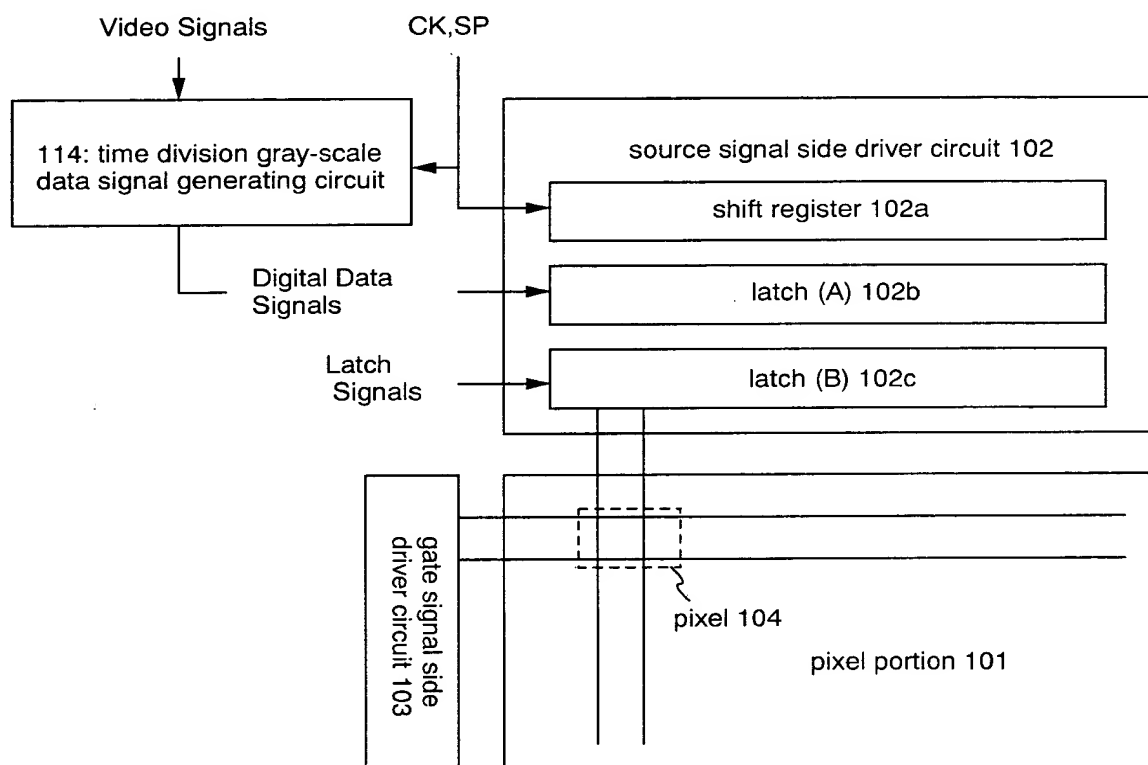


Fig. 2A

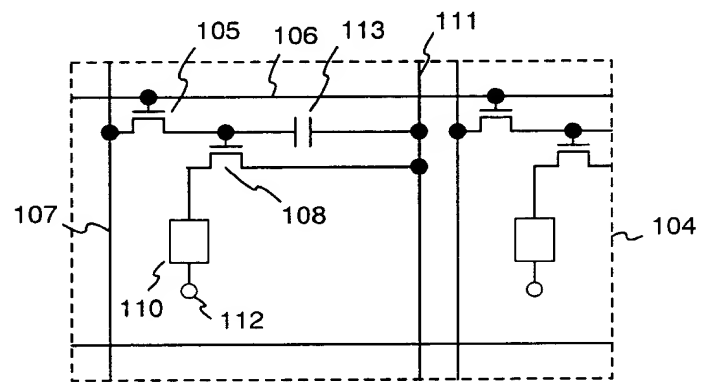
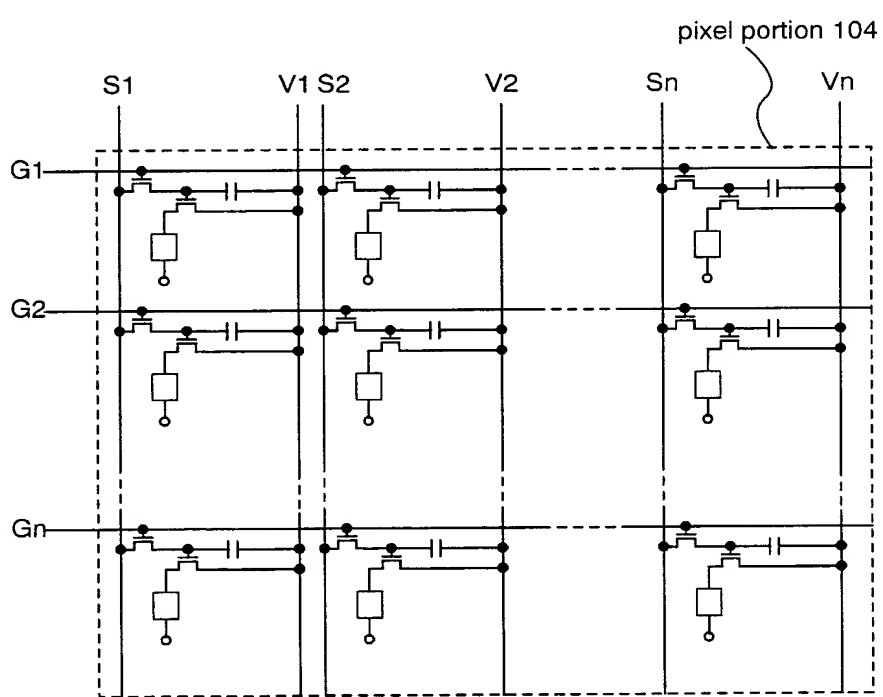


Fig. 2B



3
Fig

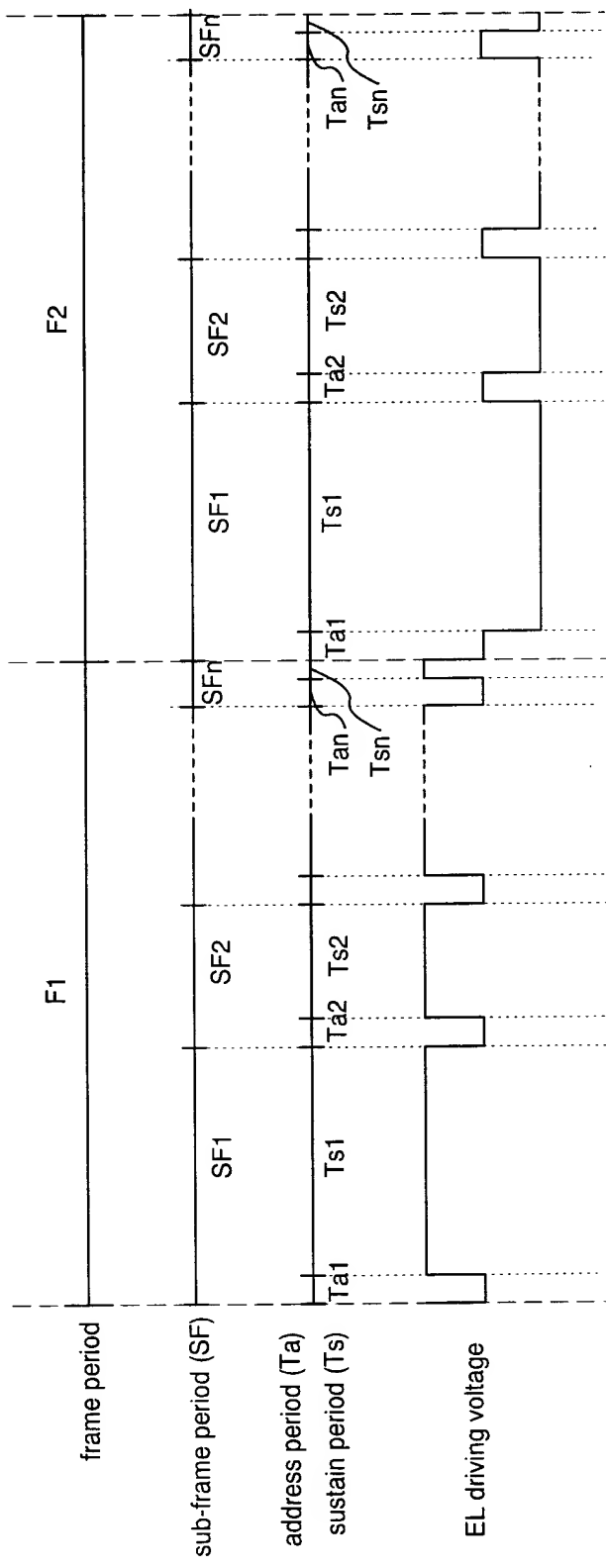


Fig. 4

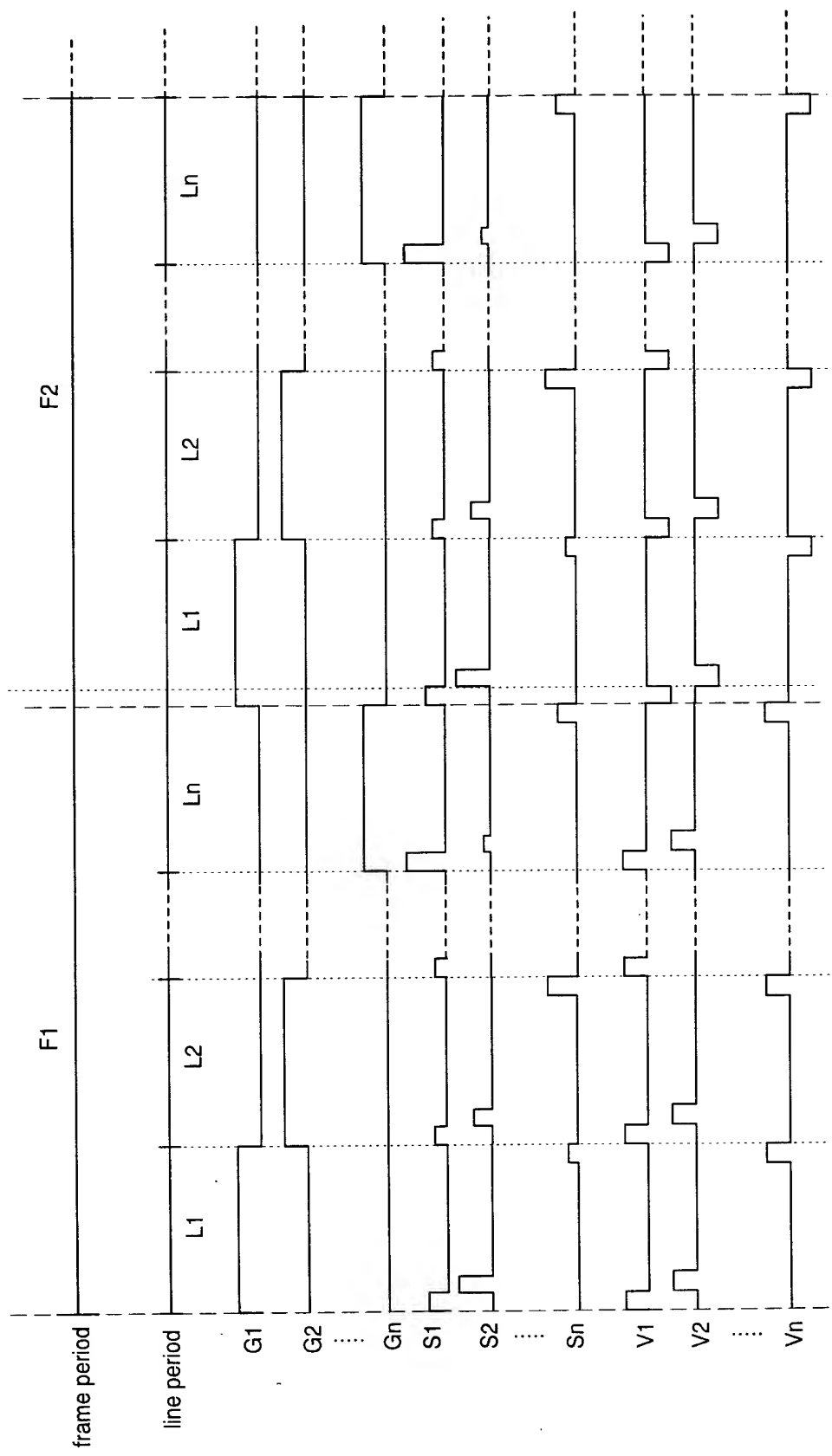


Fig. 5

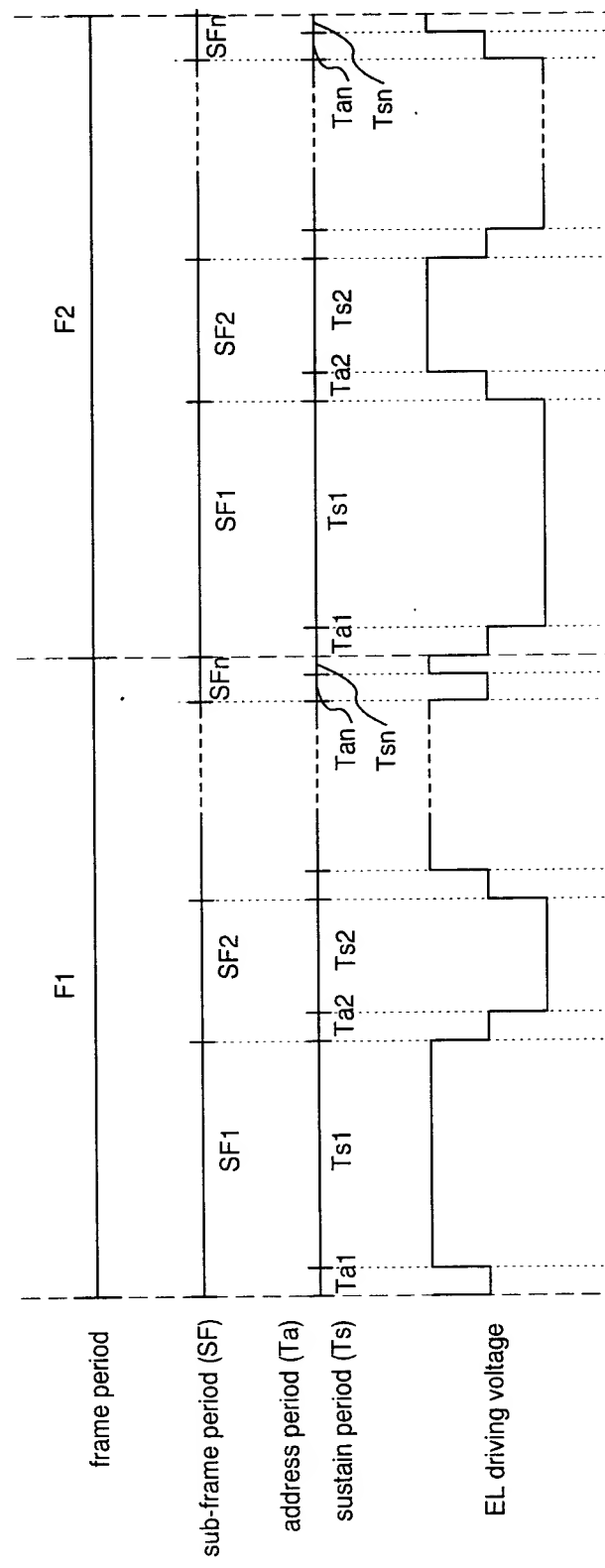


Fig. 6A

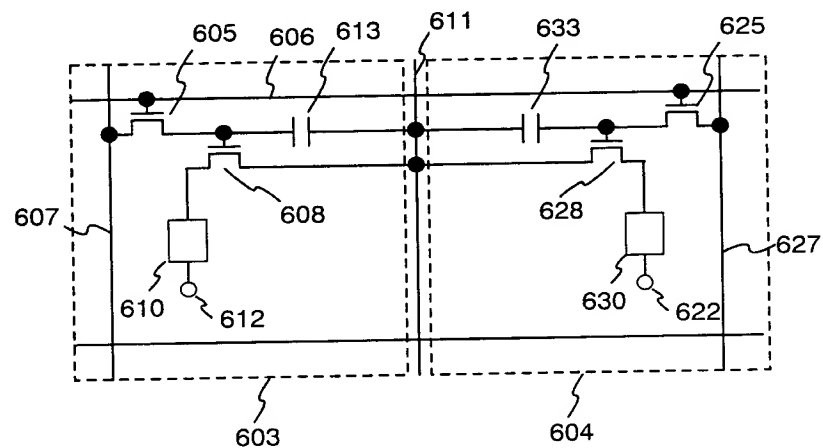


Fig. 6B

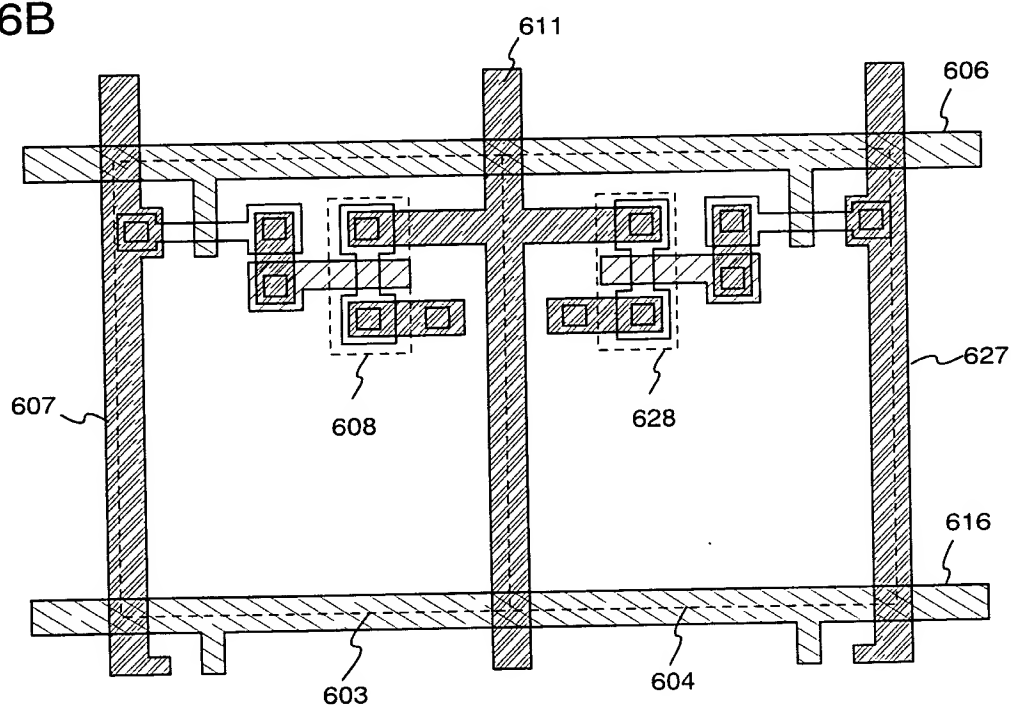
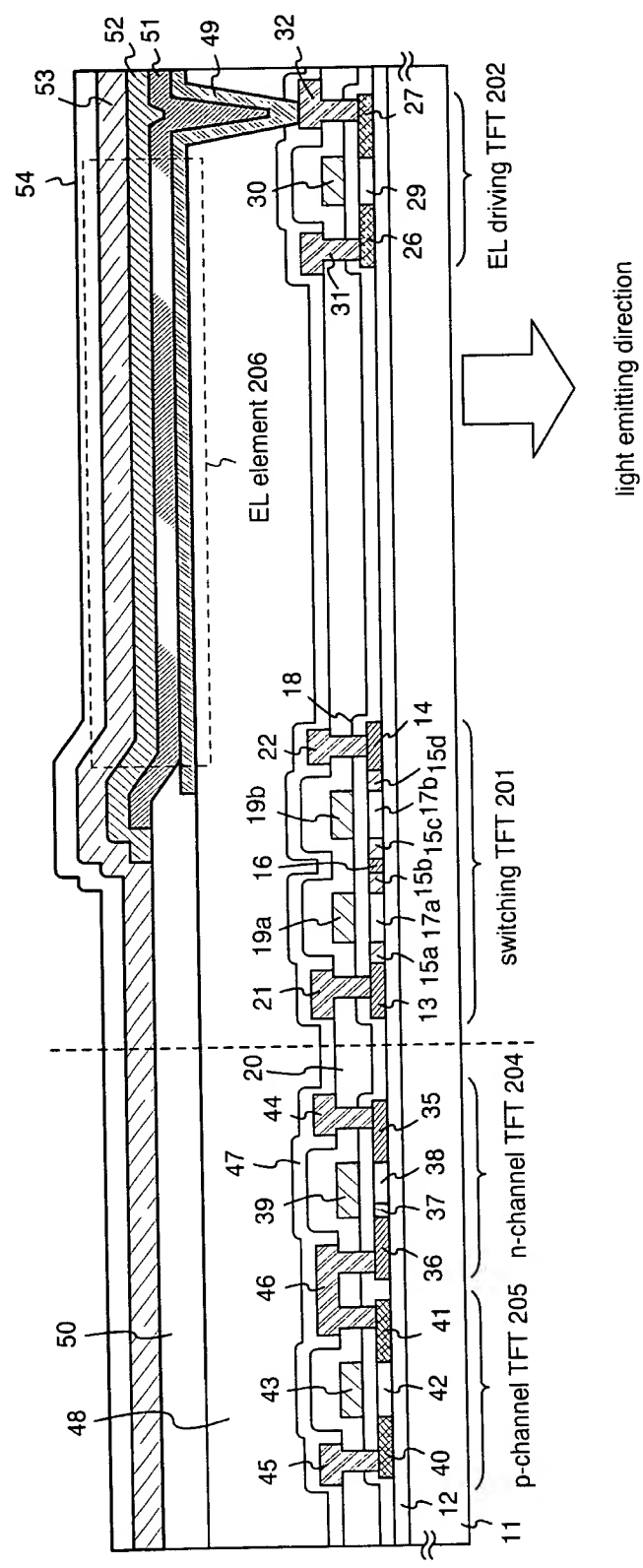


Fig. 7



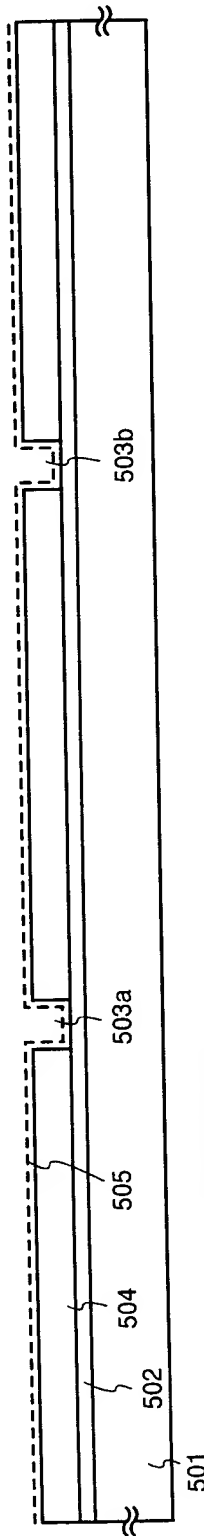


Fig. 8A

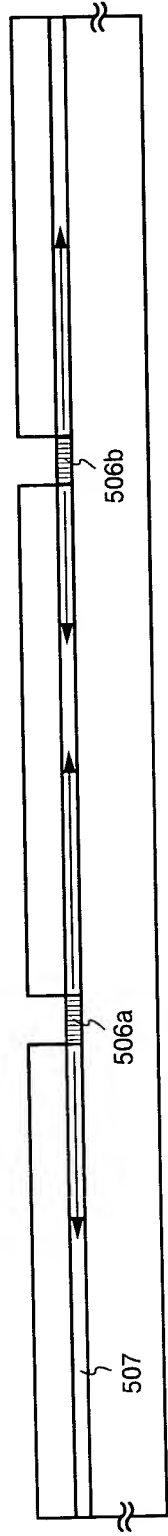


Fig. 8B

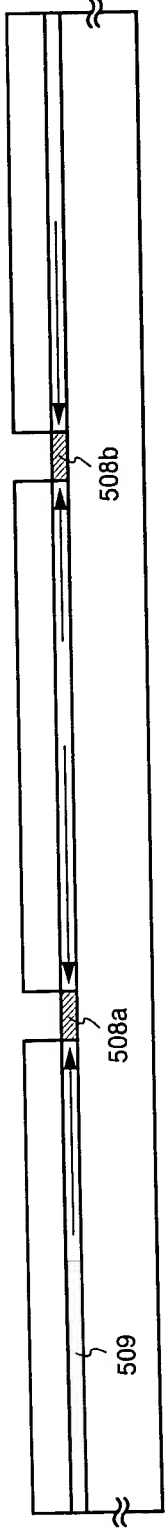


Fig. 8C

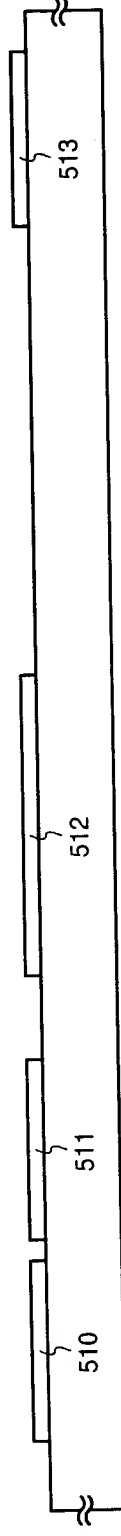


Fig. 8D

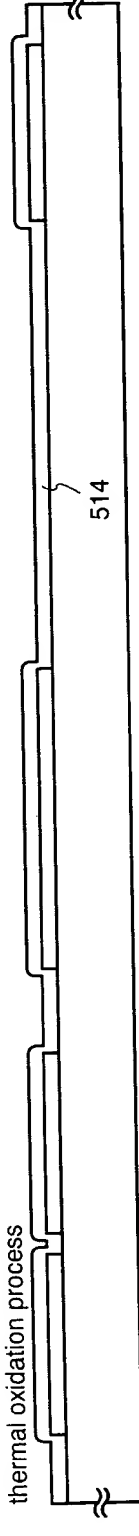


Fig. 8E

introducing p-type impurity

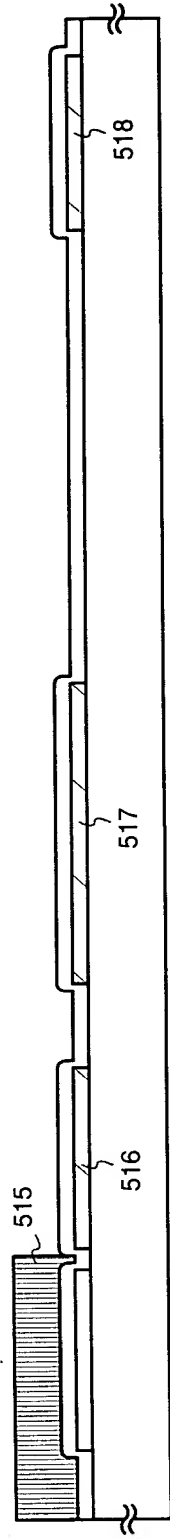


Fig. 9A

introducing n-type impurity

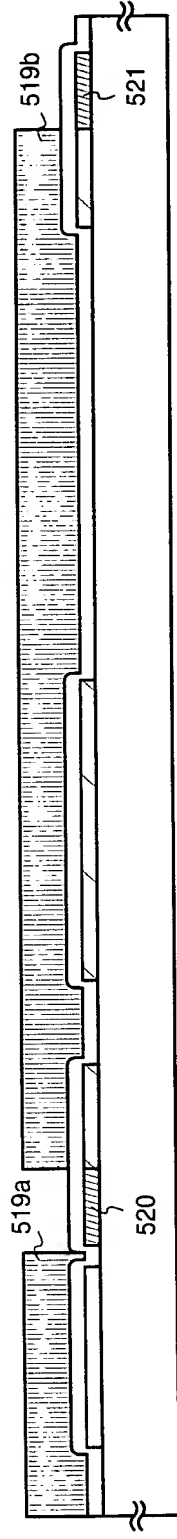


Fig. 9B

activation process

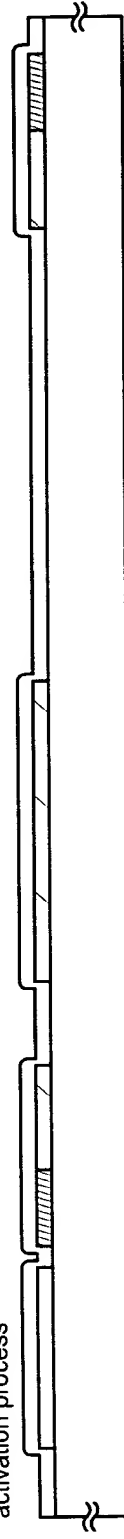


Fig. 9C

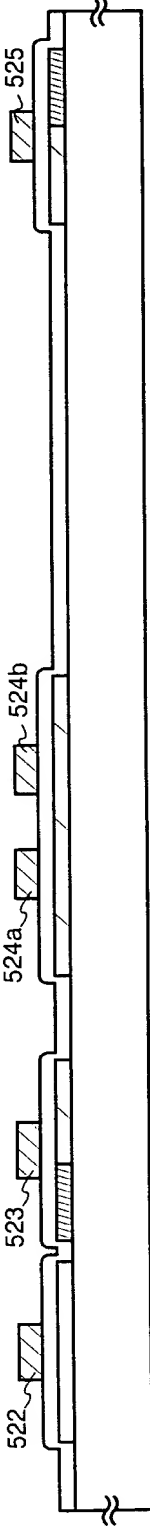


Fig. 9D

introducing n-type impurity

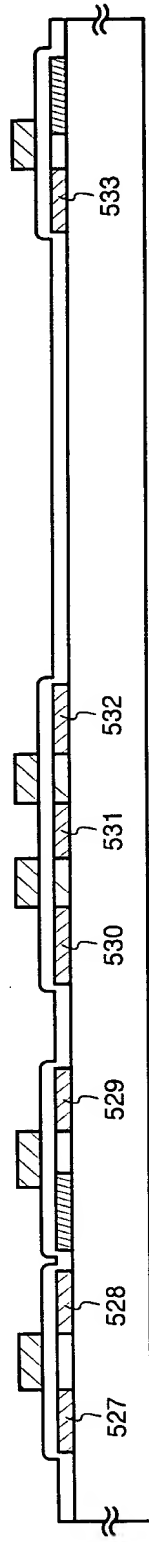


Fig. 10A

introducing n-type impurity

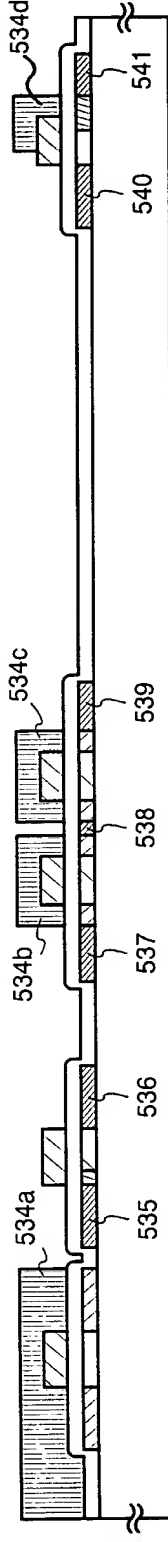


Fig. 10B

introducing p-type impurity

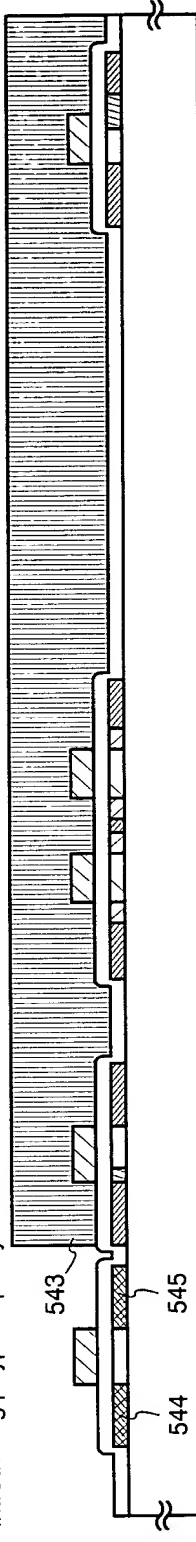


Fig. 10C

activation process

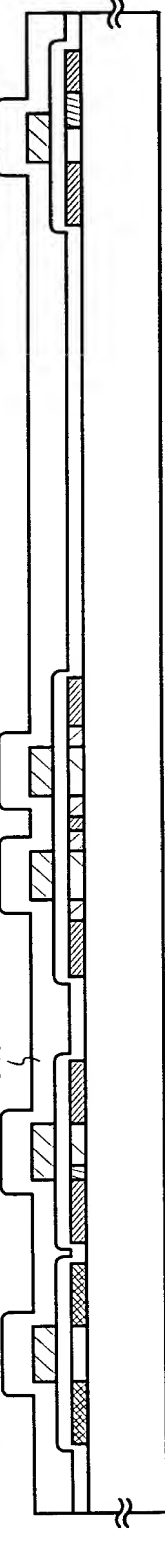


Fig. 10D

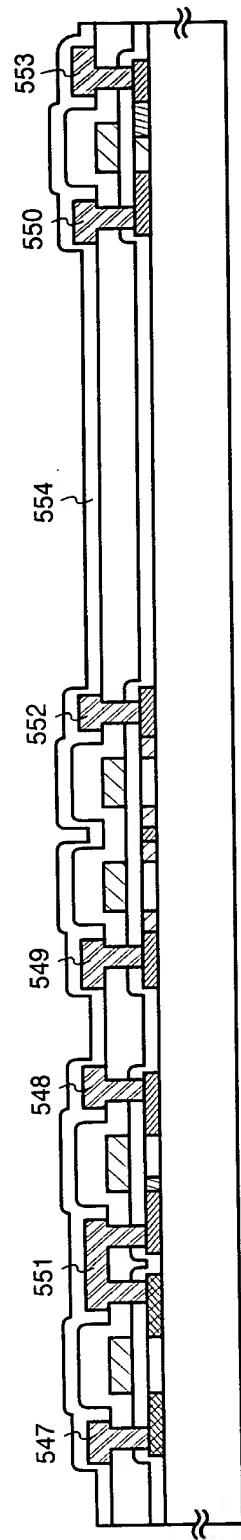


Fig. 11A

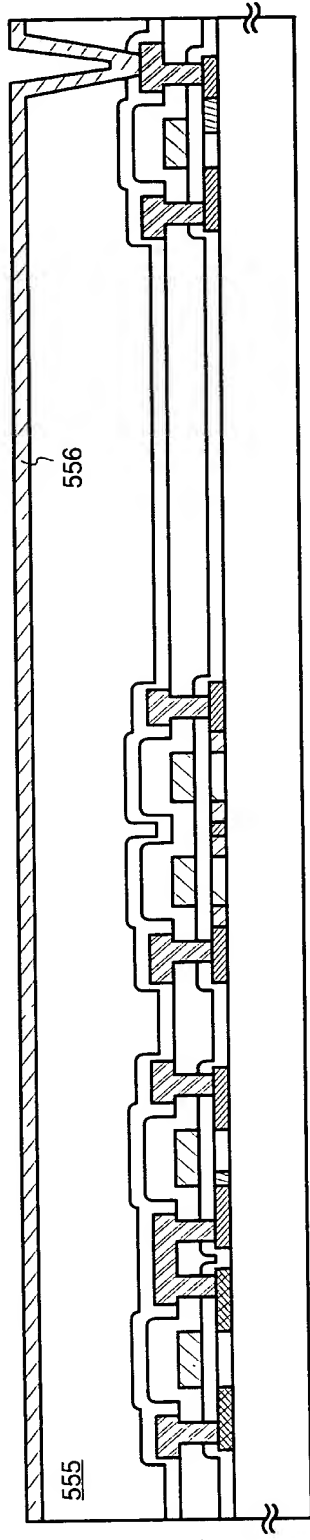


Fig. 11B

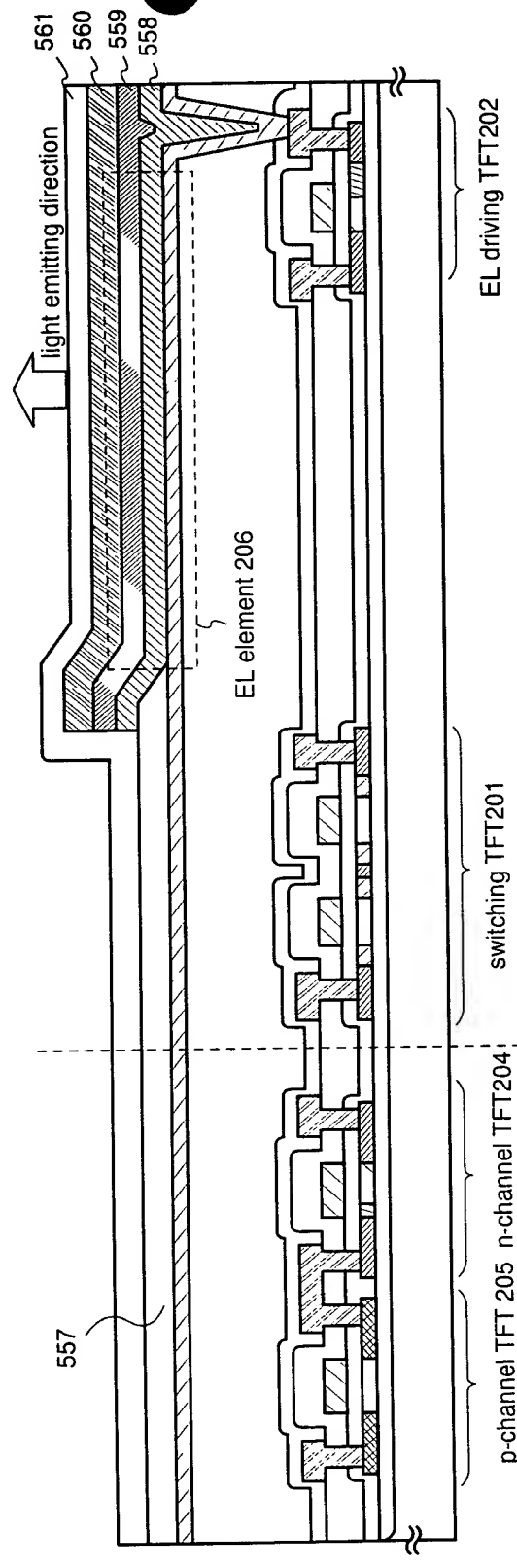


Fig. 11C

Fig. 12

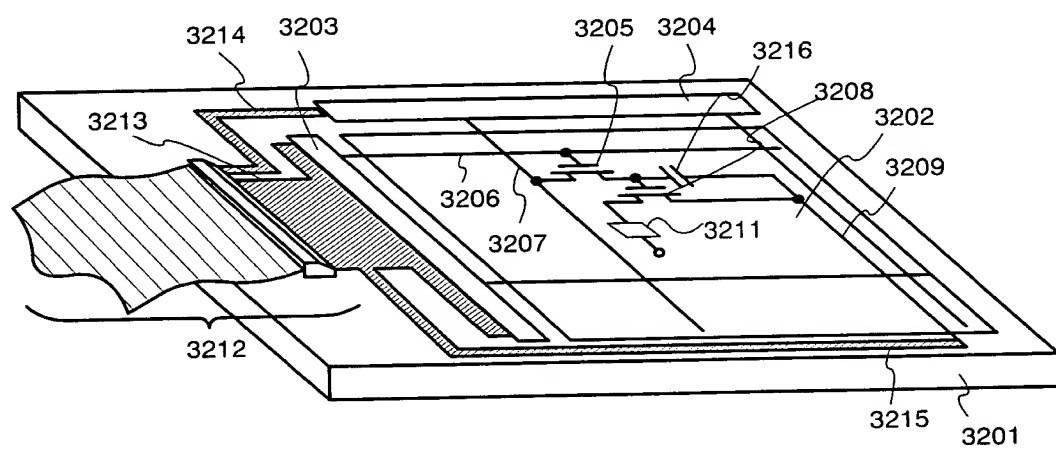


Fig. 13A

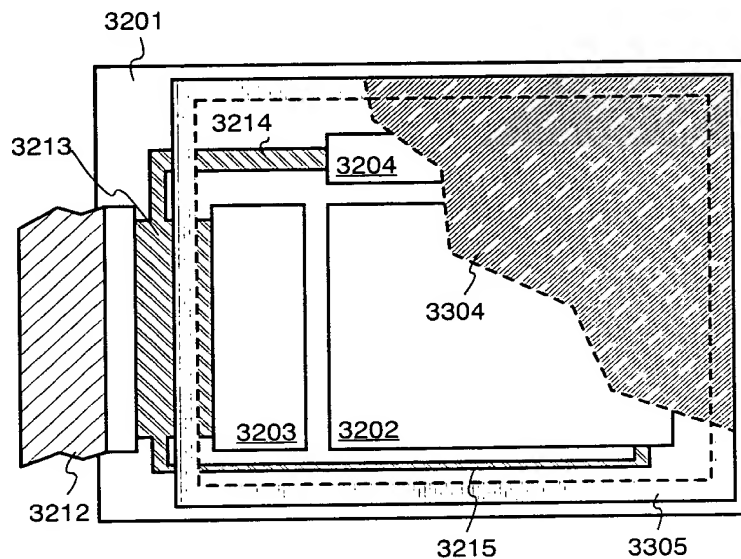
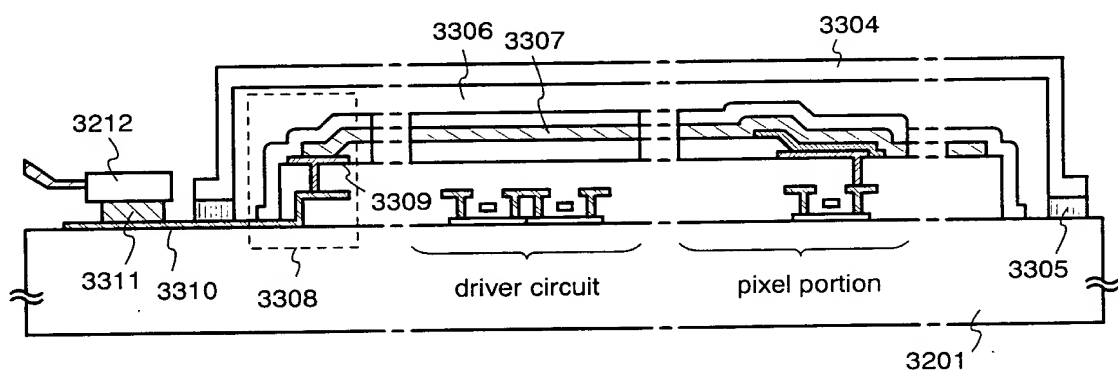


Fig. 13B



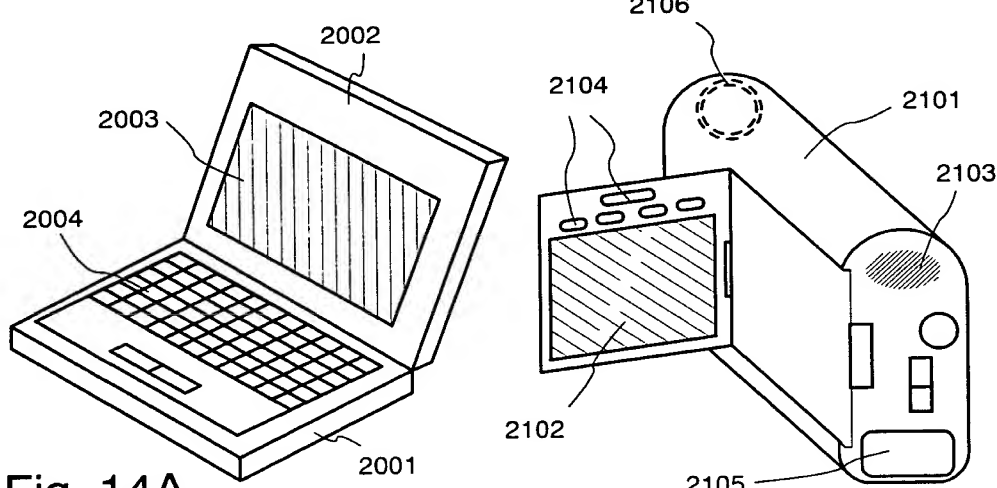


Fig. 14A

Fig. 14B

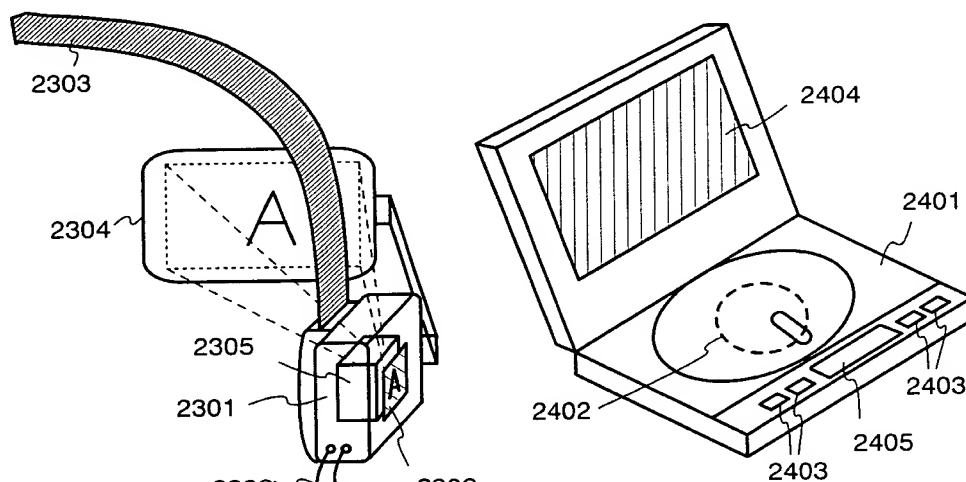


Fig. 14C

Fig. 14D

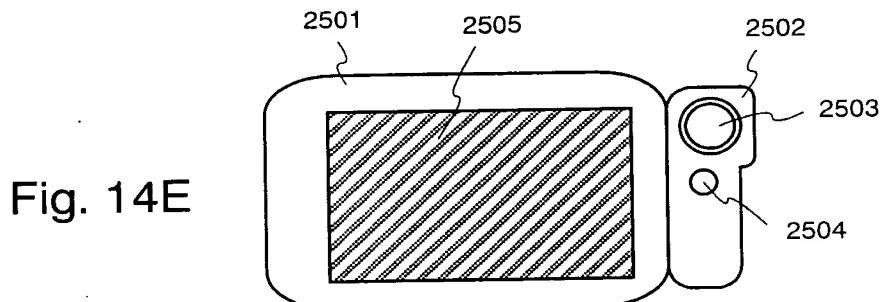


Fig. 14E

Fig. 15

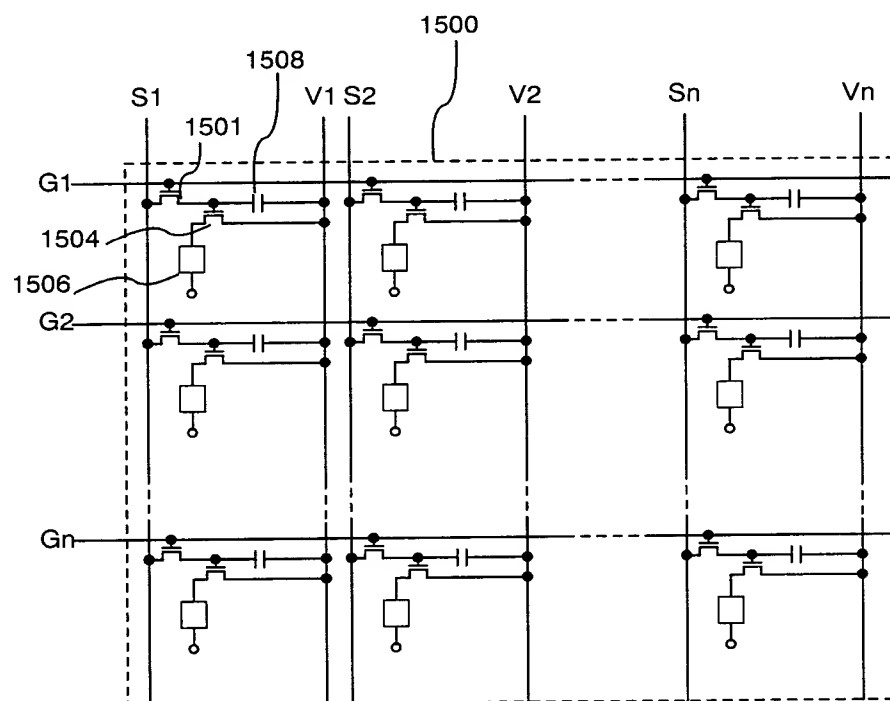


Fig. 16 prior art

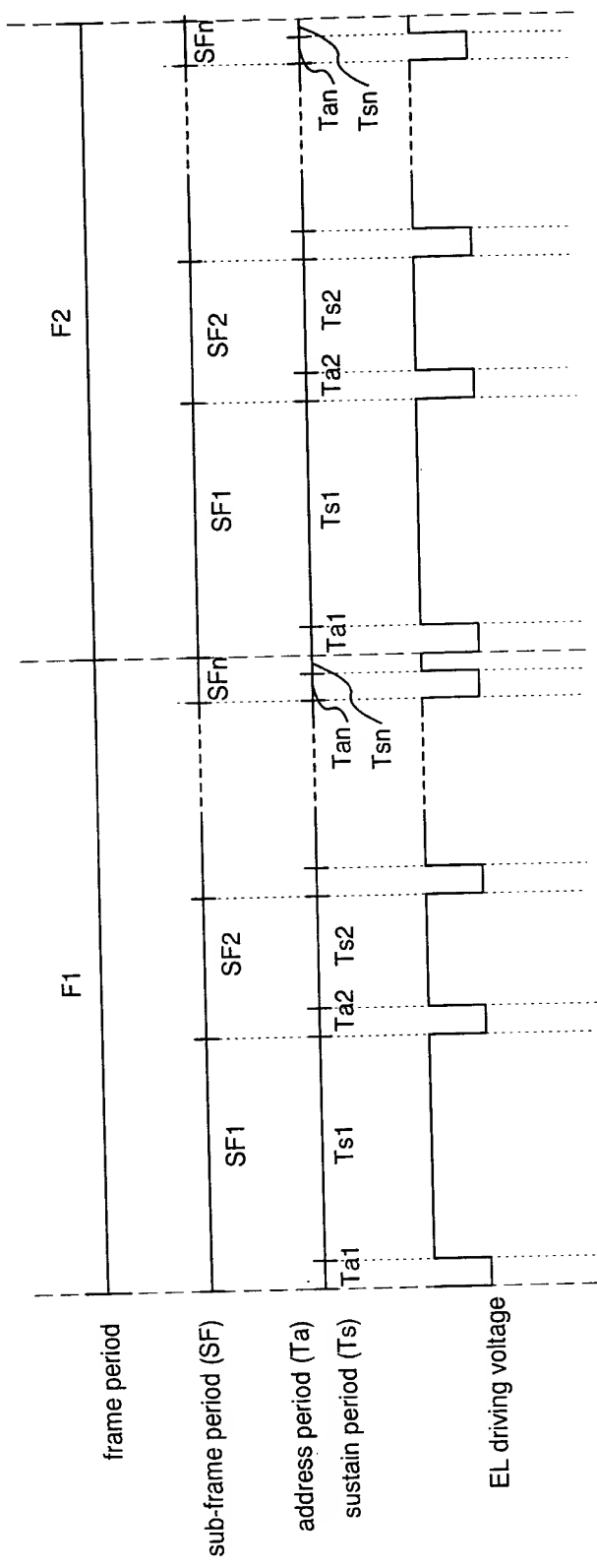


Fig. 17A

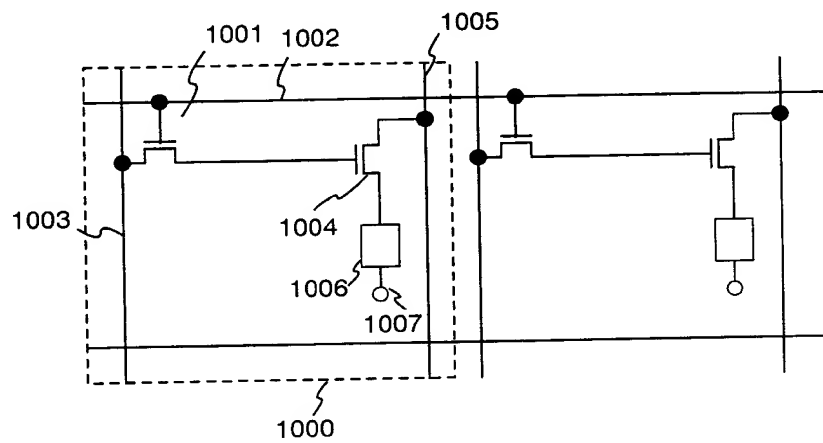


Fig. 17B

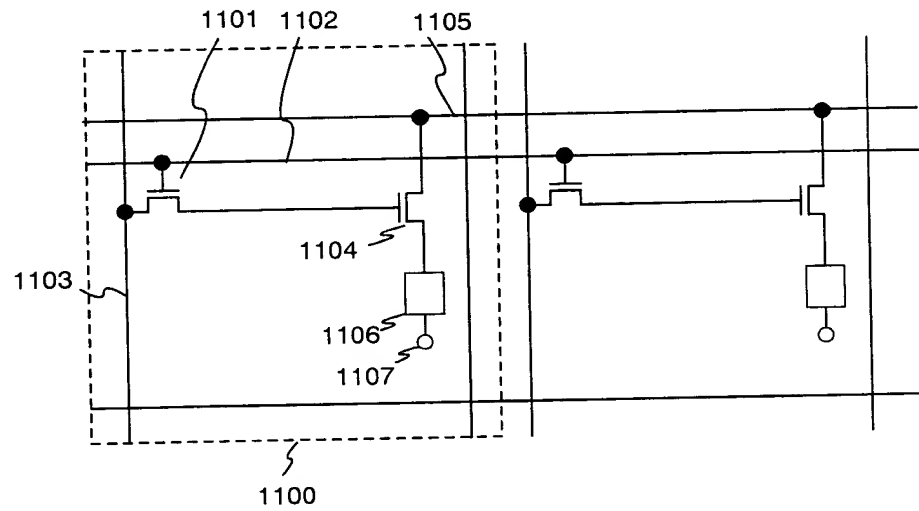


Fig. 18A

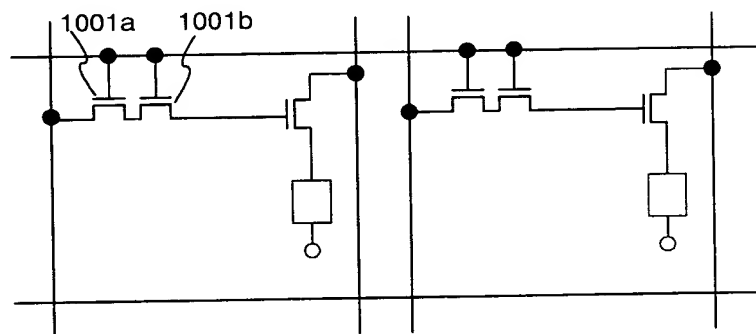


Fig. 18B

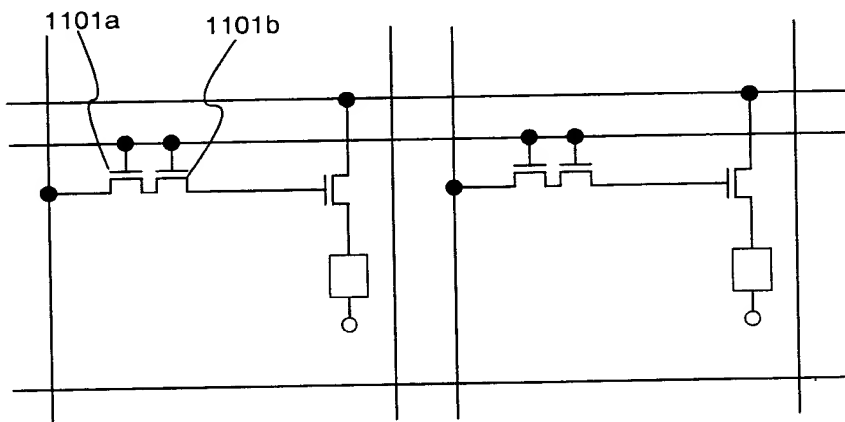


Fig. 19A

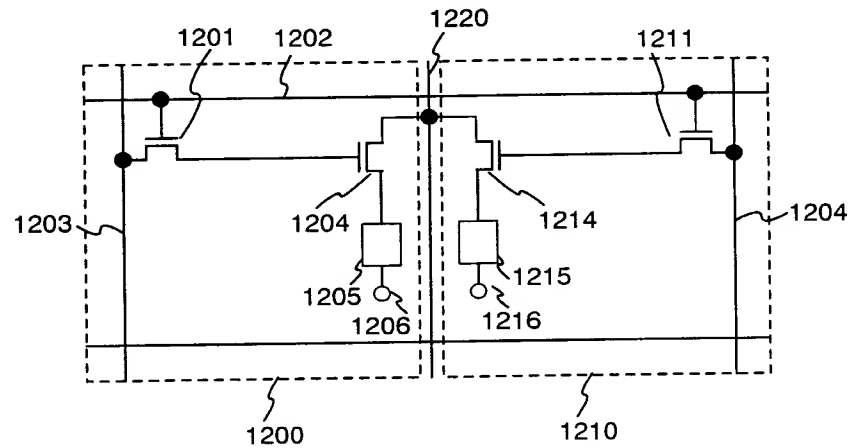


Fig. 19B

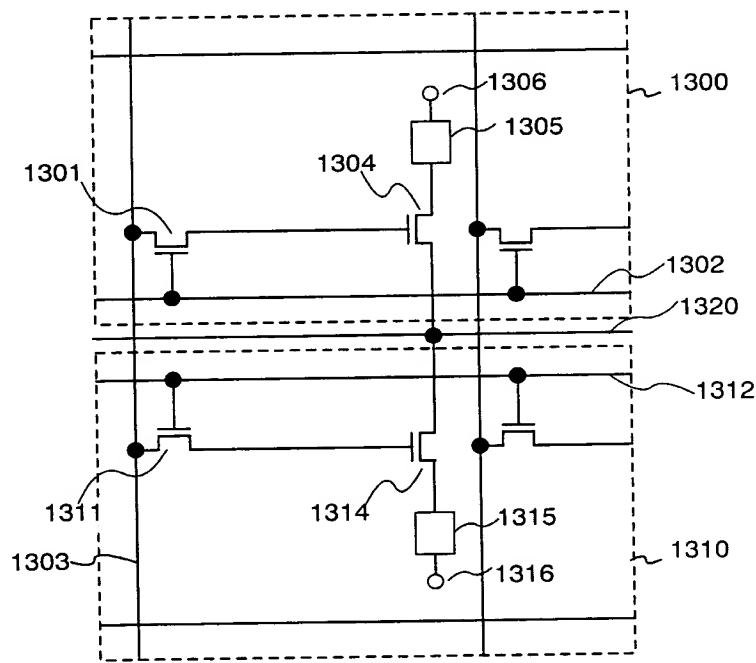


Fig. 20A

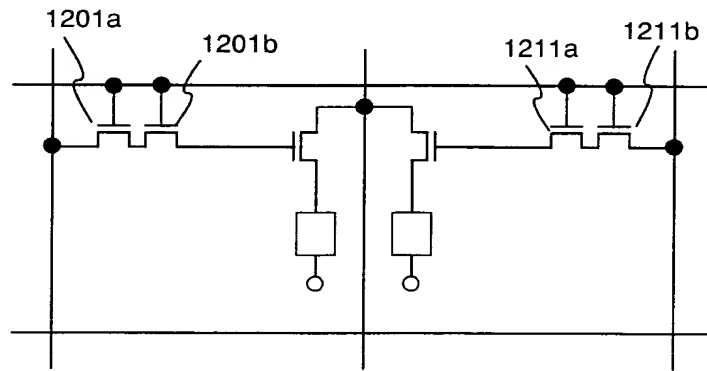


Fig. 20B

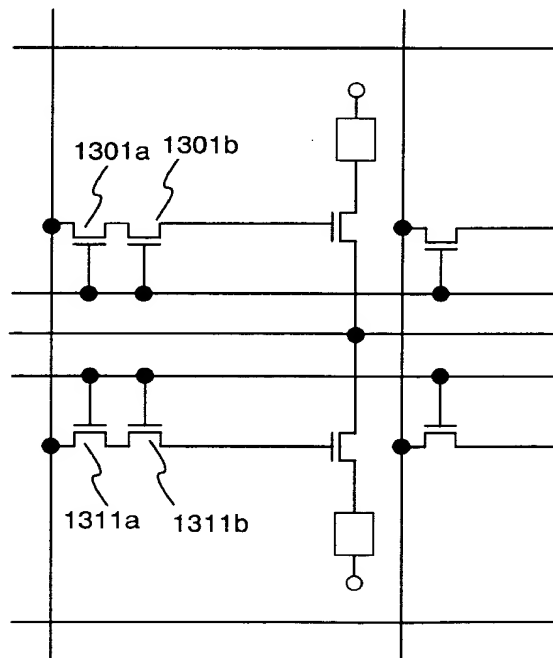


Fig. 21

